

УДК 622.28.044:622.831

Г.І. Ларіонов

## ДО ПИТАННЯ ПРО ЗМІНУ ДІАМЕТРУ МЕТАЛПОЛІМЕРНОГО АНКЕРА

**Актуальність.** Незалежність України у енергетичній сфері вимагає як найширшого використання енергоресурсів власного видобутку. Оскільки Україна має потужні запаси вугілля то необхідно збільшити видобуток власного вугілля. Донецький вугільний басейн містить достатній об'єм якісного вугілля, але його потрібно видобувати на великих глибинах.

Застосування рамного кріплення гірських виробок на великих глибинах, як показує практика, стало економічно недоцільним і таким, що не забезпечує необхідний рівень безпеки на вугільних шахтах України. Сучасний вид кріплення гірських виробок - анкерне кріплення в змозі ефективно вирішити перелічені проблеми і забезпечити значно більші темпи видобутку [1].

На вугільних шахтах України анкерне кріплення здійснюється згідно з стандартами України, які базуються на стандартах Великобританії [1]. Виходячи з нормативних документів прийнятих в Україні застосування набули анкерні штанги довжиною 2,4 м та номінальних діаметрів 22; 24; 27; 30 мм відповідно. Найбільшого поширення набули анкерні штанги номінальним діаметром 25 мм при діаметрі шпура 32 мм та фіксуюча суміш виробництва ЗАО „Карбо і Кріплення” з максимальним опором на стискання 60 – 80 МПа. Застосування таких комплектуючих анкерного кріплення підтвердили свою ефективність на багатьох шахтах України з різними гірничо-геологічними умовами.

Ефективність анкерного кріплення протидіяти гірському тиску у великій мірі залежить від забезпечення технології його зведення. Параметри бурового обладнання, яке використовується і для встановлення анкерів, мають суттєвий вплив на забезпечення правильної технології зведення анкерного кріплення, а так і ефективності його роботи.

Останньою тенденцією у застосуванні анкерного кріплення на вугільних шахтах України стало використання анкерних штанг

найменшого із ряду рекомендованих нормативними документами діаметру 21 мм.

Як на наш погляд, це пов'язано з налагодженням виробництва прокату для анкерних штанг з більшою міцністю, з можливістю зменшити металоємність систем анкерного кріплення та позбавитись технологічної операції з нарізання різьбової ділянки у хвостовій частині анкерної штанги.

Оскільки основним видом навантаження є розтяг, то основним критерієм зміни номінального діаметру штанги було обрано незмінність максимальної несучої здатності анкерної штанги на розрив.

Але як свідчить практичний досвід використання анкерного кріплення сталої значення міцності на розрив анкерної штанги замало.

Справа в тім, що важливість вибору величини діаметру анкерної штанги, а відповідно і анкерного шпура, обумовлена значним впливом товщини оболонки фіксуючої суміші на якість і міцність її закріплення. А як відомо [3] товщина оболонки із фіксуючої суміші істотно впливає на ефективність роботи як окремо зафіксованого анкера так і системи анкерного кріплення в цілому.

Таким чином, на вибір діаметру анкерної штанги і відповідно анкерного шпура під металополімерний анкер одночасно впливають два чинники. З одного боку, бурове обладнання повинно забезпечувати необхідну якість перемішування фіксуючої суміші (згідно з [1] величина крутного моменту бурового обладнання при встановленні анкерної штанги у шпур повинна забезпечити швидкість обертання її не менше 450 об/хв. на протязі 30 секунд), а з іншого боку, бути в змозі створити таку товщину оболонки з фіксуючої суміші, яка б забезпечила найефективнішу передачу зусиль від гірського масиву до анкерної штанги. Зрозуміло, що вирішення такої задачі можливо лише в рамках постановки такої задачі як задачі оптимального проектування.

Являє інтерес питання: чи змінюється механізм роботи анкерної штанги у системі анкерна штанга – фіксуюча суміш – гірська порода? Як впливає зменшення діаметру анкерної штанги на роботу системи анкерного кріплення?

**Постановка задачі** може бути сформульована наступним чином:

Знайти такий діаметр шпура під полімерний анкер, який забезпечив би найсприятливіші умови роботи оболонки із фіксуючої суміші за наявності бурого обладнання з обмеженим крутним моментом, або інакше

забезпечити мінімум цільовій функції

$$F = \int_0^L \sigma(\xi) d\xi; \quad (1)$$

де:  $L$  – довжина зафікованої частини анкера;  $\sigma$  - зусилля, що виникають у тілі оболонки із фіксуючої суміші.

за наявності обмежень міцності оболонки фіксуючої суміші

$$\sigma_{\text{фікс.суміш}} < \sigma_{\text{границ.}}; \quad (2)$$

за наявності технологічних обмежень

$$M_{\text{крути}} = \frac{2\pi^2 \mu N d_a^2 d_{\text{обол}}^2 L}{d_{\text{обол}}^2 - d_a^2} < M_{\text{бур.обл}}; \quad (3)$$

та конструктивних обмежень:

$$d_{\min} \leq d_{\text{обол}} \leq d_{\max}; \quad (4)$$

Врахування обмеженої міцності матеріалу з якого складається фіксуюча суміш на розрив призвело до появи обмеження задачі у вигляді формули (2), де:

$\sigma_{\text{фікс.суміш}}$  та  $\sigma_{\text{границ.}}$  являють собою зусилля, що виникають в оболонці фіксуючої суміші та граничні зусилля на розрив відповідно;  $M_{\text{крути}}$ ,  $M_{\text{бур.обл}}$  - необхідний крутний момент для забезпечення постановки анкера у шпур та максимальний для бурого обладнання, що використовується для введення анкера у шпур [2];

$\mu$  - густота фіксуючої суміші [н · хв./м];  $N$  - швидкість обертання виконавчого органу бурого обладнання [об/хв];  $d_a d_{\text{обол}}$  - діаметри анкерної штанги та оболонки фіксуючої суміші(або шпура);

$L$  - довжина частини анкерної штанги, яку зафіковано у масив гірської породи;  $d_{\min}$ ,  $d_{\max}$  - мінімально та максимально допустимі діаметри шпура.

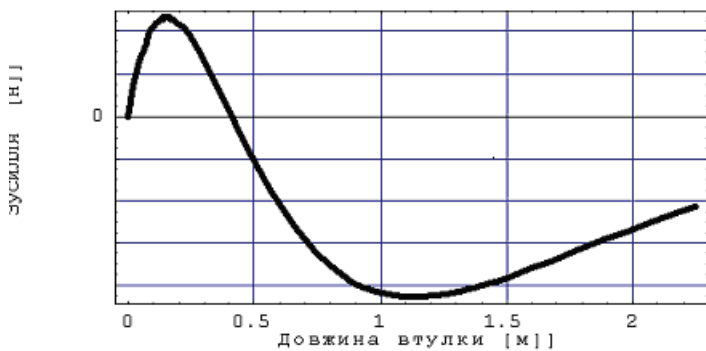


Рисунок 1 - Типовий закон розподілення зусиль у поперечних перерізах оболонки фіксуючої суміші

Зараз на шахтах Україні експлуатується широкий спектр бурового обладнання для вибурювання анкерних шпурів, та встановлення анкерного кріплення. Проблеми вибору бурового обладнання яке може забезпечити необхідний спектр значень параметрів не існує. Найпоширенішим критерієм вибору бурового обладнання, за звичай, є ціновий. Цим можна пояснити найбільше розповсюдження бурового обладнання для буріння анкерних шпурів та постановки анкерів виробництва Китаю, наприклад, *MQT-120*, *MQT-35* тощо. Максимальний крутний момент цього бурового обладнання не перевищує  $M_{крути} = 120$  н.м. Як свідчить [2], величина цього параметру у значній ступені визначає можливість та правильність виконання технології встановлення штанги анкера у шпур і забезпечує якість перемішування фіксуючої суміші, а відповідно і максимально спроможну його міцність. В той же час практичний досвід використання різних видів бурового обладнання показав, що якість перемішування істотно не зменшується навіть у діапазоні 170 ÷ 250 об/хв. Тому у подальших обчислennях використано найменшу з цього діапазону швидкість 170 об/хв.

Використання узагальненої задачі Н.М. Жуковського, що довела свою ефективність при визначенні силових параметрів для системи гірський масив – оболонка фіксуючої суміші – анкерна штанга [3] і було використано при вирішенні задачі (1 – 4). Схема навантаження системи подана на рис. 2, а розрахункова схема на рис. 3.

Основні елементи навантаження видно з наведеного вище рисунка.

Основними параметрами представленими на рис. 3 є:

$Q$  – осьове навантаження анкерної штанги;

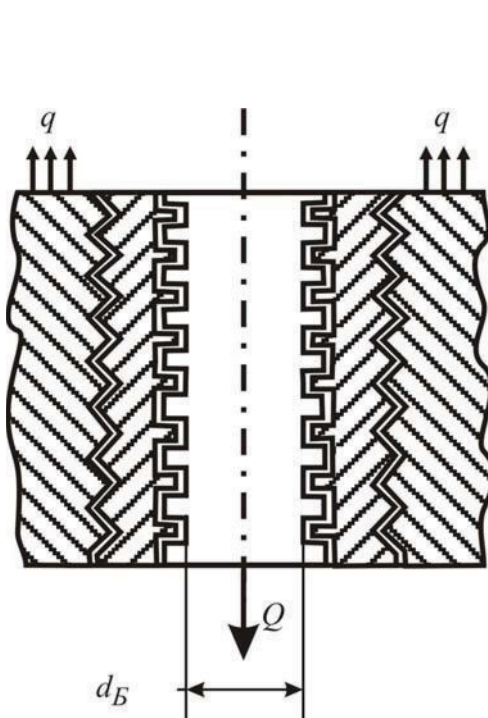


Рисунок 2 - Схема навантаження системи гірський масив – оболонка фіксуючої суміші – анкерна штанга

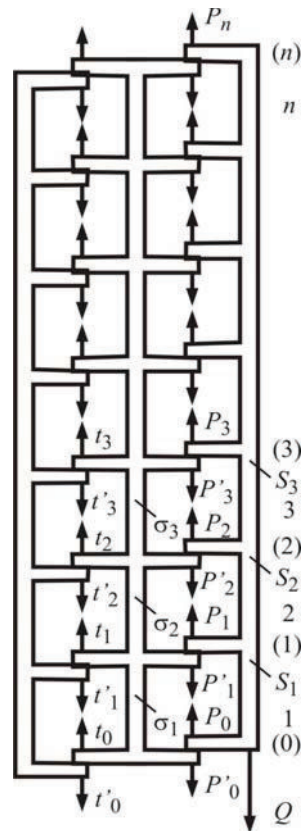


Рисунок 3 - Розрахункова схема узагальненої задачі М.Є. Жуковського

$p_i$  - сили взаємодії, що виникають на контакті анкерна штанга – фіксуюча суміш;

$t_i$  - сили взаємодії, що виникають на kontaktі фіксуюча суміш – гірський масив;

$S_i$  - зусилля, що виникають у поперечних перерізах анкерної штанги;

$\sigma_i$  - зусилля, що виникають у поперечних перерізах оболонки із фіксуючої суміші;

Для визначення зусиль, що виникають у поперечних перерізах анкерної штанги та оболонки фіксуючої суміші використано розв'язки узагальненої задачі М.Є. Жуковського [4] які представлені наведеними нижче формулами:

Зусилля, що виникають у тілі оболонки фіксуючої суміші та сили, що виникають на контактах гірська порода – фіксуюча суміш та анкерна штанга – фіксуюча суміш визначаються за формулами (5-6) відповідно:

$$\sigma_k^B = \sum_{i=0}^{k-1} (p_i^B - t_i) = \sum_{i=0}^{k-1} (p_i - t_i) , \quad (5)$$

де:

$$\begin{aligned} t_k &= \frac{\lambda_1 \lambda_3 Q}{8 \operatorname{sh} \frac{\beta_1 + \beta_2}{2} \operatorname{sh} \frac{\beta_1 - \beta_2}{2}} \left[ \frac{e^{-\left(\frac{k+1}{2}\right)\beta_2}}{\operatorname{sh} \frac{\beta_2}{2}} - \frac{e^{-\left(\frac{k+1}{2}\right)\beta_1}}{\operatorname{sh} \frac{\beta_1}{2}} \right]; \\ p_k &= \frac{\lambda Q}{2 \operatorname{sh} \frac{\beta_1 + \beta_2}{2} \operatorname{sh} \frac{\beta_1 - \beta_2}{2}} \left[ \operatorname{sh} \frac{\beta_1}{2} e^{-\left(\frac{k+1}{2}\right)\beta_1} - \operatorname{sh} \frac{\beta_2}{2} e^{-\left(\frac{k+1}{2}\right)\beta_2} \right] + t_k ; \end{aligned} \quad (6)$$

Зусилля, що виникають у поперечних перерізах оболонки фіксуючої суміші та анкерної штанги обчислюються за формулами відповідно:

$$\left. \begin{aligned} \sigma_{k+1}^F &= \frac{1}{\lambda_3} (t_k - t_{k+1}) ; \\ s_{k+1}^E &= \frac{1}{\lambda_1} (p_k - p_{k+1}) + \frac{\lambda_2}{\lambda_1 \lambda_3} (t_k - t_{k+1}) ; \end{aligned} \right\}$$

де:

$$\begin{aligned} \operatorname{ch} \beta_1 &= 1 + \frac{\lambda_1 + \lambda_2 + \lambda_3}{4} + \sqrt{\left(1 + \frac{\lambda_1 + \lambda_2 + \lambda_3}{4}\right)^2 - \frac{\lambda_1 \lambda_3}{4}} ; \\ \operatorname{ch} \beta_2 &= 1 + \frac{\lambda_1 + \lambda_2 + \lambda_3}{4} - \sqrt{\left(1 + \frac{\lambda_1 + \lambda_2 + \lambda_3}{4}\right)^2 - \frac{\lambda_1 \lambda_3}{4}} ; \\ \lambda &= \frac{h_B}{E_B F_B (c_B + c_G^{npas})} ; \lambda_2 = \frac{h_T}{E_T F_T (c_B + c_G^{npas})} ; \lambda_3 = \frac{h_T}{E_T F_T (c_G^{leb} + c_C)} . \end{aligned}$$

$h_B$ ,  $h_T$  – відстань між виступами на штанзі анкера і поверхні шпура відповідно;

$E_B F_B$ ;  $E_T F_T$  - модулі пружності та площа поперечного перерізу анкера та оболонки із фіксуючої суміші відповідно;

$(c_B + c_G^{npas})$ ,  $(c_G^{leb} + c_C)$  - суми коефіцієнтів пропорційності на контактах анкерна штанга – оболонка фіксуючої суміші та оболонка фіксуючої суміші – гірська порода відповідно. Зміст коефіцієнтів пропорційності визначаються із формули:  $f_i = c p_i$ , де:  $f_i$  – переміщення поперечного перерізу під дією сили  $p_i$ . Коефіцієнт пропорційності приймається сталим для пари контактуючих поверхонь.

Для визначення коефіцієнтів  $c_B$ ,  $c_G^{npas}$ ,  $c_G^{leb}$ , можна скористатися [5].

Як випливає із формул (5-6) зусилля, що виникають у поперечних перерізах оболонки із фіксуючої суміші являють собою

різницю між силами на контактах анкер – фіксуюча суміш та фіксуюча суміш – поверхня анкерного шпура. Оскільки вони виникають на різних, але коаксіальних поверхнях, які знаходяться на відстані рівній товщині оболонки із фіксуючої суміші, то вони призводять до зміни форми об’єму матеріалу фіксуючої суміші, а як відомо навантаження подібного типу є небезпечними для збереження ціlostності матеріалу.

Зрозуміло також, що значення цієї різниці не відображає абсолютнох значень дотичних напружень на контактуючих поверхнях.

Для отримання нижньої оцінки оптимальних параметрів поставленої задачі вибрано мінімально можливу швидкість обертання анкерної штанги у шпурі  $N = 170$  об/хв. та крутного моменту для найбільш поширеного бурового станка  $MQT-120$  ( $M_{крути} = 120$  нм). Для того щоб усвідомити динаміку змін параметрів, що досліджуються, графіки представлено одночасно для двох різних швидкостей обертання виконавчого органу бурового обладнання:  $N = 170$  та  $180$  об/хв.

Оскільки для розрахунків у подальшому необхідно мати значення модуля пружності для анкерної штанги номінальним діаметром 21 мм, а відомо лише те, що розривні зусилля анкерної штанги не менше за матеріал анкерної штанги номінальним діаметром 25 мм, то модуль пружності для розрахунків приймався виходячи з рівності жорсткості на розрив:

$$E_{25} F_{25} = E_{21} F_{21};$$

де:  $E_{25} F_{25}$ ;  $E_{21} F_{21}$  – модулі пружності та площі поперечних перерізів анкерних штанг номінальних діаметрів 25 і 21 мм відповідно.

Результати розв’язку задачі (1 – 4) отримано за наступних даних:

$$Q = 5 * 10^4 \text{ Н}; L = 2,25 \text{ м}; \sigma_{\text{спан}} = 60 \text{ МПа}; \mu = 500 - 700 \frac{\text{Н сек}}{\text{м}}; d_a = 0,021 \text{ м};$$

$$h_a = 0,009 \text{ м}; d_a = 0,025 \text{ м}; h_a = 0,0165 \text{ м}; N = 170 \text{ та } 180 \text{ об/хв.};$$

$$d_{\max} = 0,060 \text{ м}; h_r = 0,006 \text{ м}; E_a = 1.2 \cdot 10^{11} \text{ Н/м}^2; E_r = 9.0 \cdot 10^9 \text{ Н/м}^2.$$

На рис. 4 представлені графічні залежності параметрів для анкерної штанги з оптимальним діаметром шпура та з модулем пружності фіксуючої суміші та діаметрів 32 мм та 34 мм з модулем

пружності фіксуючої суміші, яка за звичай використовується при спорудженні анкерного кріплення на вугільних шахтах.

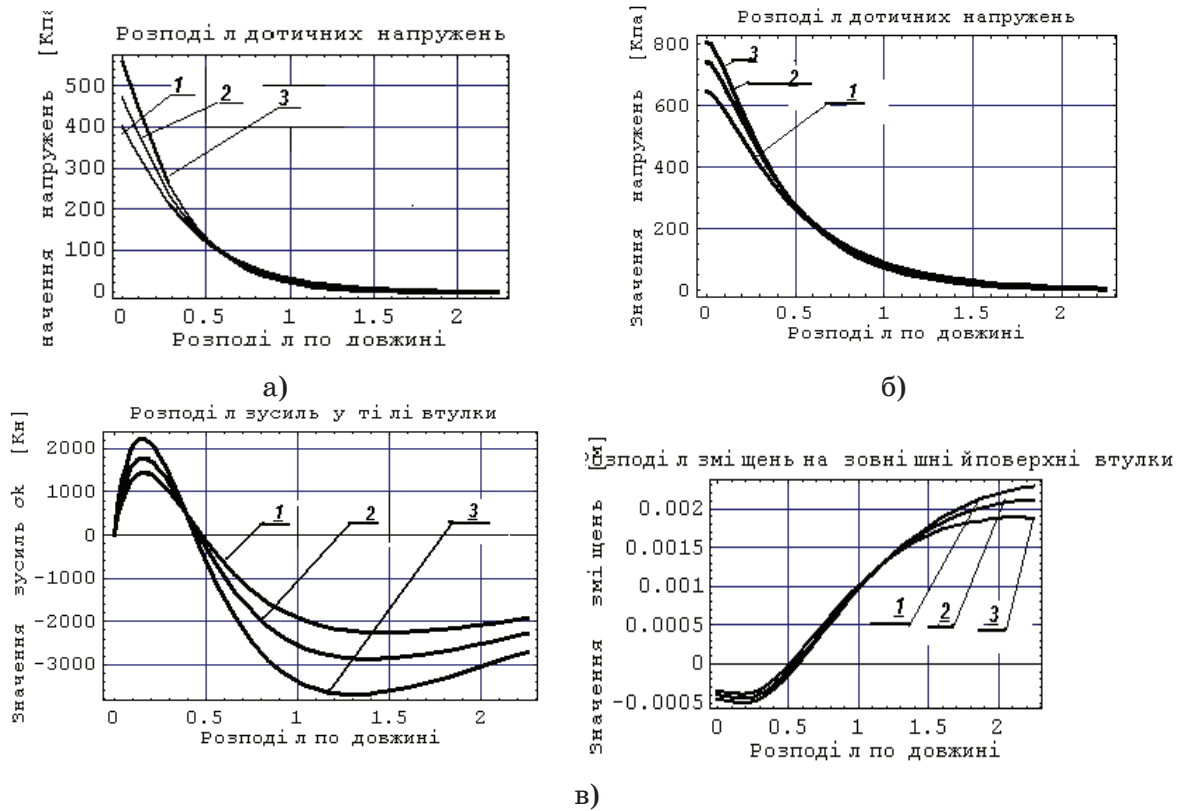
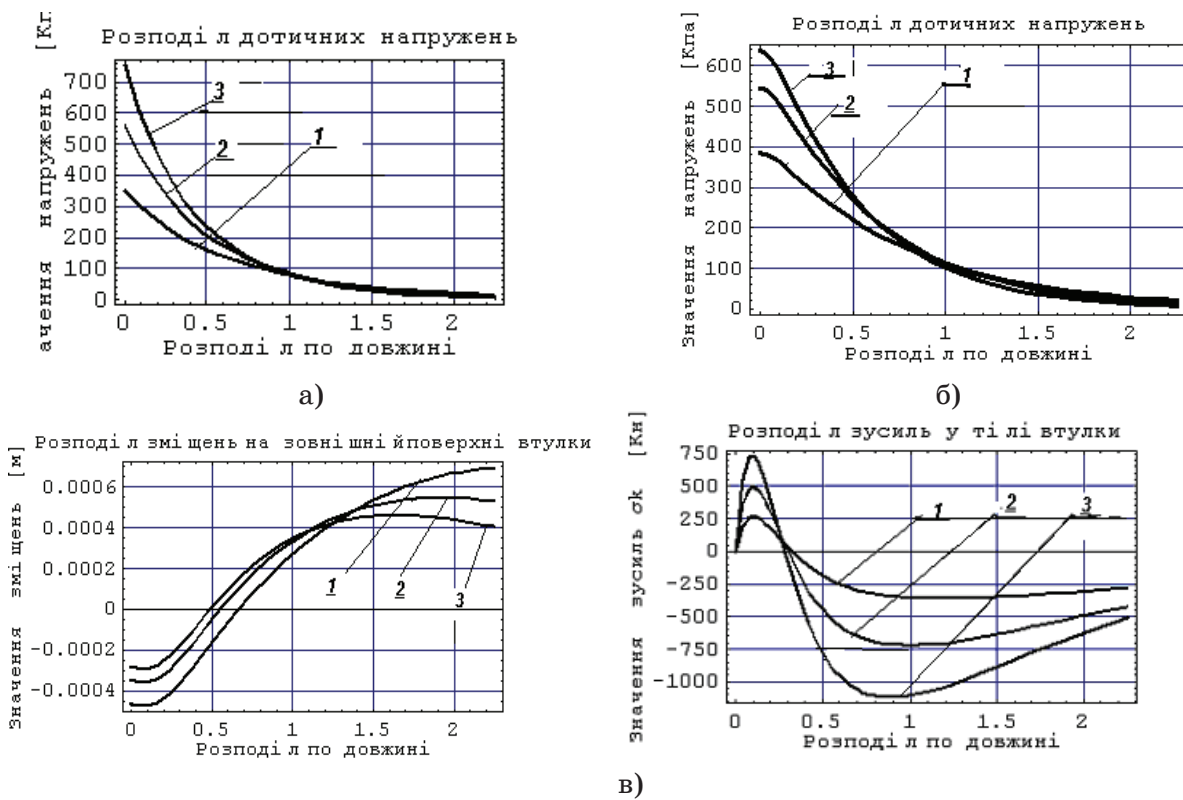


Рисунок 4 - Розподіл параметрів для номінального діаметру анкерної штанги  $d_w = 0.025$  м

а) дотичних напружень на контакті анкер – оболонка, б) дотичних напружень на контакті оболонка – шпур, в) зусиль у поперечних перерізах оболонки із фіксуючої суміші та переміщень поперечних перерізів за  $M_{kp} = 120$  нм, де: 1 – для оптимальних значень діаметру шпера та  $E = 6.0 \cdot 10^9$  Н/м<sup>2</sup>; 2 – для  $d_w = 0.032$  м та  $E = 7.8 \cdot 10^9$  Н/м<sup>2</sup>; 3 – для  $d_w = 0.034$  м та  $E = 7.8 \cdot 10^9$  Н/м<sup>2</sup>

На рис. 5 представлениі графічні залежності параметрів для анкерної штанги з оптимальним діаметром шпера та з модулем пружності фіксуючої суміші та діаметрів шпера 27 мм та 30 мм з модулем пружності фіксуючої суміші, яка за звичай використовується при спорудженні анкерного кріплення на вугільних шахтах України



а) дотичних напружень на контакті анкер - оболонка б) дотичних напружень на контакті оболонка – шпур в)зусиль у поперечних перерізах оболонки із фіксуючої суміші та переміщень поперечних перерізів за  $M_{kp} = 120$  нм

Рис. 5 - Розподіл параметрів для номінального діаметру анкерної штанги  $d_w = 0.021$  м

де: 1 – для оптимальних значень діаметру шпура та  $E = 6.0 \cdot 10^9$  Н/м<sup>2</sup>;

2 – для  $d_w = 0.027$  м та  $E = 7.8 \cdot 10^9$  Н/м<sup>2</sup>; 3 – для  $d_w = 0.030$  м та  $E = 7.8 \cdot 10^9$  Н/м<sup>2</sup>

Оскільки динамічна густина  $\mu$  змінюється у процесі постановки анкерної штанги у шпур від значень 500,0 до повного затвердіння для отримання графічних залежностей параметрів вибрано найменше значення динамічної густини  $\mu = 500,0$ . Зрозуміло, що у такому разі відшукується нижня межа оптимальних параметрів. Тобто, якщо за таких наявних обмежень максимальних крутних моментів бурового обладнання неможливо забезпечити нормативні параметри технології наприклад на протязі 30 секунд забезпечити 170 об/хв, то отримане значення діаметру шпура не буде витримано і за більших значень динамічної густини фіксуючої суміші.

Дослідження проблеми використання анкерної штанги номінальним діаметром 25 мм (дивись табл. 1 та рис. 4) дає підстави для наступних висновків.

Таблиця 1

Параметри оптимальних проектів для  $n=170$  та  $180$  об/хв

Динамічна густина [н сек/м]	$D_{ш} 10^{-2}$ [м]	$E_{Ф,с} 10^9$ [н/м <sup>2</sup> ]	$\sigma_{max} 10^6$ [н/м <sup>2</sup> ]	цільова функція $10^3$	$D_{ш} 10^{-2}$ [м]	$E_{Ф,с} 10^9$ [н/м <sup>2</sup> ]	$\sigma_{max} 10^6$ [н/м <sup>2</sup> ]	цільова функція $10^3$
500	3,2	6,0	4,58	2,828	3,2	6,0	4,58	2,828
600	3,21	6,0	4,58	2,848	3,27	6,0	4,57	3,1846
700	3,4	6,0	4,44	3,7179	3,49	6,0	4,36	4,1715

Оптимальне значення модуля пружності фіксуючої суміші менше початкового  $7,8 \cdot 10^9$  н/м<sup>2</sup> і складає  $6,0 \cdot 10^9$  н/м<sup>2</sup> (див. табл. 1). Графічні залежності отриманих параметрів на рис. 4 демонструють тенденцію створення більш сприятливих умов у роботі оболонки із фіксуючої суміші за меншою величиною модуля пружності. За оптимальних значень діаметру оболонки із фіксуючої суміші (тобто діаметру шпера) і модуля пружності покращується розподіл дотичних напружень як на внутрішній (рис. 1а) так і на зовнішній поверхнях (рис. 1б). Розподіл зусиль у поперечних перерізах оболонки із фіксуючої суміші та переміщення зовнішнього шару втулки зображене на рис. 4в). З аналізу графіків випливає - за менших значень модуля пружності зусилля у поперечних перерізах оболонки розподілені більш рівномірно, а переміщення у зоні замкової частини анкерної штанги збільшуються, що відповідає загальним уявленням механіки деформованого твердого тіла.

Аналіз результатів чисельних досліджень анкерної штанги номінального діаметру 21 мм (дивись табл. 2 та рис. 5) дає підстави для наступних висновків.

Таблиця 2

Параметри оптимальних проектів для  $n = 170$  та  $180$  об/хв

Динамічна густина [н сек/м]	$D_{ш} 10^{-2}$ [м]	$E_{Ф,с} 10^9$ [н/м <sup>2</sup> ]	$\sigma_{max} 10^6$ [н/м <sup>2</sup> ]	цільова функція $10^3$	$D_{ш} 10^{-2}$ [м]	$E_{Ф,с} 10^9$ [н/м <sup>2</sup> ]	$\sigma_{max} 10^6$ [н/м <sup>2</sup> ]	цільова функція $10^3$
500	2,5	6,0	1,8	0,5287	2,5	6,0	1,8	0,5287
600	2,5	6,0	1,8	0,5287	2,5	6,0	1,8	0,5287
700	2,556	6,0	1,728	0,602	2,6	6,0	1,77	0,654

Розподіл дотичних напружень, що виникають на внутрішній та зовнішніх поверхнях оболонки із фіксуючої суміші (рис. 5а, б)), стає більш рівномірним на зовнішній поверхні (рис. 5б) у порівнянні з внутрішньою. Більш навантаженою є внутрішня поверхня

оболонки(рис. 5а ). Зусилля, що виникають на контакті анкер – фіксуюча суміш на 15% більше ніж на контакті фіксуюча суміш – поверхня шпура. Причому, розподіл дотичних напружень за оптимальних параметрів ( $d_{us} = 0,025$  мм та  $E_{\phi.c.} = 6,0 \cdot 10^9$  Н/м<sup>2</sup> ) є більш рівномірним, а максимальне значення дотичних напружень на 53% менше ніж за неоптимальних значень( $d_{us} = 0,03$  мм та  $E_{\phi.c.} = 7,8 \cdot 10^9$  Н/м<sup>2</sup> );

Порівняння розподілу зусиль у поперечних перерізах оболонки із фіксуючої суміші (дивись рис. 5в) дає підстави стверджувати, що збільшення міцності матеріалу фіксуючої суміші і діаметру шпура призводить до більшої неоднорідності зусиль по довжині анкерної штанги. Переміщення поперечних перерізів оболонки з фіксуючого матеріалу більшої міцності (крива 3) є меншими (дивись рис. 5в), що підтверджує вже відомий факт. Зміна номінальних діаметрів анкерних штанг з 25 мм на 21 мм призводить до суттєвих змін у розподілі навантажень, що діють на внутрішніх і зовнішніх контактних поверхнях. Зокрема, за номінального діаметру анкерної штанги 25 мм більшого навантаження зазнає зовнішня контактна поверхня фіксуюча суміш – поверхня шпура у порівнянні з внутрішньою і різниця складає 30%. За номінального діаметру анкерної штанги 21 мм більшого навантаження зазнає внутрішня контактна поверхня анкер - фіксуюча суміш у порівнянні із зовнішньою і різниця складає не менше 13%. Аналізуючи перерозподіл навантаження викликаний зміною номінальних діаметрів анкерних штанг та враховуючи той факт, що різниця між модулями пружності фіксуючої суміші і гірської породи менша ніж пари анкер – фіксуюча суміш, можна стверджувати, що слабою ланкою у цій конструкції є пара анкер – фіксуюча суміш. А цей факт означає, що при підвищенні навантаження ймовірність відмови конструкції анкерного кріплення за рахунок пари анкер – фіксуюча суміш є вищою, ніж пари фіксуюча суміш – гірська порода.

За прийнятої функції цілі оптимальні проекти визначаються розташуванням незалежної змінної (модуля пружності)на нижній границі обмеження. Це означає ніщо інше як тенденцію використання фіксуючої суміші з меншим можливим модулем пружності (враховуючи кореляційну залежність між модулем пружності та межею міцності ) з меншою міцністю.

Крім того, слід зазначити, що конструктивною особливістю анкерних штанг номінальним діаметром 21 мм, що отримують широке розповсюдження, є відсутність різьбової частини. Наявність різьбової ділянки для анкерних штанг з номінальним діаметром 25 мм була викликана необхідністю створення попереднього навантаження. Для створення попереднього навантаження анкерних штанг номінальним діаметром 21 мм використовується зовнішня гвинтова навивка прокату. Розрахунки проведені в ІГТМ НАН України показують, що максимальне попереднє навантаження, за таких конструктивних особливостей прокату і бурового обладнання з крутним моментом, що не перевищує 150 нм, не перевищує 2 т проти 5 т за нормативними документами [1].

Для отримання відповіді про необхідність попереднього навантаження і використання анкерних штанг номінальним діаметром 20 мм в умовах вугільних шахт України (на ш. „Білоріченська” ДВАТ „Луганськвугілля”) у 2007 році було проведено українсько-американський експеримент. Він підтвердив необхідність і важливість створення попереднього навантаження. Крім того, засвідчив важливість не тільки повздовжньої жорсткості, а й поперечної. Іншими словами, одностайно було зроблено висновок про неефективність застосування анкерного кріплення з американською технологією її зведення і високу ефективність анкерного кріплення, з номінальним діаметром анкерних штанг 25 мм і попереднім навантаженням, яке використовується на вугільних шахтах України.

Як свідчить проведений експеримент та практичний досвід застосування анкерного кріплення на Україні, врахування поперечної жорсткості стає вкрай необхідним у випадку слабких порід покрівлі гірської виробки. За сталої величини попереднього навантаження, рівність поперечної жорсткості пропорційна рівності сумарних площ встановлених анкерів в ряду.

Іншими словами:

$$N_{25}F_{25} = N_{21}F_{21},$$

звідки

$$N_{21} = N_{25}F_{25} / F_{21} = d_{25}^2 / d_{21}^2 N_{25} = 1.417 N_{25}.$$

де:  $N_{25}$ ,  $N_{21}$  та  $F_{25}$ ,  $F_{21}$  – відповідно кількості анкерів номінальних діаметрів 25 та 21 мм у ряду та їх площі поперечних перерізів.

Тобто, для забезпечення рівня зміщення покрівлі гірської виробки з допомогою 9 анкерів номінального діаметру 25 мм поставлених у ряд необхідно поставити 13 анкерів номінального діаметру 21 мм. Отже зміна діаметру анкерних штанг для кріплення гірських виробок потребує зміни паспортів кріплення, а це у свою чергу натикається на відсутність практичного досвіду їх застосування.

#### Висновки:

- ефективність та надійність роботи анкерного кріплення залежить від міцності фіксуючих сумішей, що використовуються, міцності прокату з якого виготовлені анкерні штанги, їх діаметрів та діаметрів шпурів ;
- зміна номінальних діаметрів анкерних штанг з 25 мм на 21 мм призводить до суттєвих змін у розподілі навантажень, що діють на внутрішніх і зовнішніх контактних поверхнях;
- для забезпечення високого рівня безпеки видобутку вугілля у складних гірничо-геологічних умовах вугільних шахт України необхідно використовувати анкерне кріплення з номінальним діаметром штанг не менше 25 мм з метричною різьбовою частиною для забезпечення попереднього навантаження у відповідності з діючими нормативними документами;
- використання анкерних штанг діаметру 21 мм можливе у виробках за більш сприятливих гірничо-геологічних умов та у виробках з невеликим терміном існування як то розрізні печі, квершлаги тощо;
- для підвищення стійкості гірських виробок та безпеки видобутку вугілля на високих глибинах замість спроб переходу на менший діаметр анкерних штанг з сумнівною ефективністю, необхідно збільшувати міцність та довжину анкерів номінального діаметру 25 мм.

#### ЛІТЕРАТУРА

1. Булат А.Ф., Виноградов В.В. Опорно-анкерне кріплення гірничих виробок вугільних шахт / Ін-т геотехнічної механіки НАН України. – Дніпропетровськ, 2002. – С. 372.
2. Головко С.А., Буліч Ю.Ю., Ларіонов Г.І. Щодо вибору обладнання для встановлення металополімерних анкерів. Геотехнічна механіка: Міжвід. зб. наук. праць / Ін-т геотехнічної механіки ім. М.С. Полякова НАН України. - Дніпропетровськ, 2005. - Вип. 56. – С. 157-165.

3. Ларионов Г.И. О применении решения обобщенной задачи Н.Е. Жуковского к исследованию качества закрепления металлополимерного анкера. Геотехнічна механіка: Міжвід. зб. наук. праць / Ін-т геотехнічної механіки ім. М.С. Полякова НАН України. - Дніпропетровськ, 2007. - Вип. 68. - С. 90-98.
4. Лурье А.И. Операционное исчисление и его приложения к задачам механики. – М-Л.: Гос. изд. техн-теор. лит., 1951. – 432 с.
5. Биргер И. А., Иоселевич Г.Б. Резьбовые и фланцевые соединения. – М.: Машиностроение, 1990. – 368.

Получено 17.04.2008 г.